

выделить точку Чепмена-Жуге в данном случае также не представляется возможным, очевидно, лишь, что она лежит в интервале 25–75 нс, в связи с чем точность определения параметров не высока: массовая скорость равна 1.80 ± 0.05 км/с, давление — 13.0 ± 0.4 ГПа. Эта проблема отмечается и в других работах, посвященных исследованию нитрометана. Параметры химпика удается оценить лишь с большой погрешностью, массовая скорость в пике Неймана равна 2.60 ± 0.15 км/с, что согласуется с результатами работы [2].

Как уже отмечалось, детонационный фронт в НМ является неодномерным, имеет трехмерную ячеистую структуру [1]. Тем не менее, осуществляется не только надежная регистрация скорости в течение достаточно длительного времени, но и хорошая воспроизводимость результатов. Это означает, что неустойчивость выражена достаточно слабо и амплитуда малых возмущений детонационного фронта значительно меньше 7 микрон, поскольку в противном случае наблюдалась бы заметная деформация фольги, что привело бы к резкому изменению интенсивности отраженного лазерного излучения и невозможности регистрации скорости движения границы ВВ — водяное окно. Кроме того, возможно, имеет место усреднение параметров по площади фокального пятна, диаметром около 100 мкм, с которого снимается информация.

ТНМ/метанол. Эксперименты проведены с растворами ТНМ/метанол 65/35 (плотностью $1.207 \text{ г}/\text{см}^3$) и 50/50 ($1.071 \text{ г}/\text{см}^3$), т.е. при концентрации метанола, значительно превышающей стехиометрическую. Для смеси ТНМ/метанол 65/35 результаты подобны тем, что получены для чистого ТНМ. Наиболее яркое различие проявляется лишь в амплитуде химпика, которая в растворе почти вдвое меньше, чем в чистом ТНМ. Это приводит, в частности, к тому, что градиент скорости в зоне реакции близок к величине в волне разгрузки и проблема определения положения точки Чепмена-Жуге становится еще более сложной, чем это имеет место в ТНМ. Резкое снижение градиента массовой скорости за фронтом ударной волны связано с уменьшением начальной скорости реакции, что, возможно, обусловлено реакцией дали ВВ непосредственно во фронте ударной волны. Косвенным подтверждением этого является размытие ударного скачка вблизи максимума скорости почти на де-

сять наносекунд, что не наблюдалось в чистом ТНМ.

Результаты экспериментов для смеси ТНМ/метанол 50/50, представленные на рис. 4, принципиально отличаются от приведенных выше данных: профили скорости являются осциллирующими, что свидетельствует о неустойчивости детонационного фронта. Осцилляции скорости не имеют отчетливо выраженного периода, тем не менее, характерное время колебаний лежит в интервале 50–100 нс, что соответствует

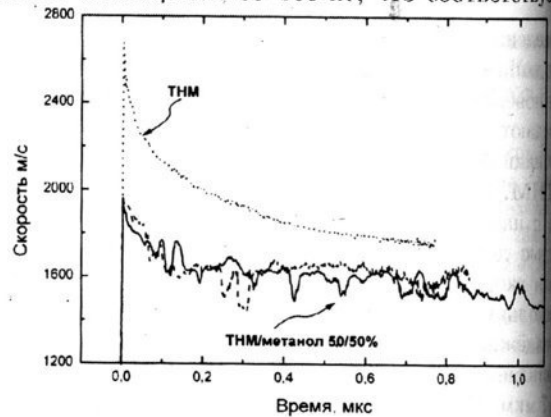


Рис. 4. Сравнение профилей скорости для ТНМ и ТНМ/метанола 50/50.

размеру пространственных неоднородностей порядка 50 мкм.

Полученные результаты показывают, таким образом, что интерферометрический метод является эффективным средством изучения закономерностей развития гидродинамической неустойчивости в химически активных средах при ударно-волновом нагружении. Причем надежно регистрируется неустойчивость течения даже в том случае, когда амплитуда возмущений составляет величину порядка микрона.

Работа выполнена в рамках проектов МНТЦ 3394 и РФФИ 08-03-00903.

1. А.Н.Дремин, С.Д.Савров, В.С.Трофимов, К.К.Шведов. Детонационные волны в конденсированных средах // Москва, Наука, 1970.
2. S.A.Sheffield, R.Engelke, R.R.Alcon et al. // Proceedings Twelfth Int. Detonation Symp., 2002, San Diego, USA, P. 159–166.

СИНХРОТРОННАЯ ТОМОГРАФИЯ ПЛОТНОСТИ, СКОРОСТИ И ДАВЛЕНИЯ ПРОДУКТОВ ДЕТОНАЦИИ ТРОТИЛА

Тен К.А.¹, Pruitt Э.Р.¹, Лукьянчиков Л.А.¹, Мерзеневский Л.А.¹, Толочко Б.П.², Жогин И.Л.², Жуланов В.В.³, Шехтман Л.И.³

¹ИГиЛ СО РАН, ²ИХТТМ СО РАН, ³ИЯФ СО РАН, Новосибирск

*ten@hydro.nsc.ru

Разработана методика восстановления механических параметров стационарного течения: полей вектора массовой скорости, $\vec{v}(r, z)$, и дав-

ления, $p(r, z)$. Методика основана на решении уравнений газовой динамики при известном распределении плотности. Для цилиндрических

рядов прессованного тротила с плотностью 1.65 г/см³ определены пространственные распределения скорости и давления. Определены уточненные показатели адиабаты на различных участках разгрузки продуктов.

Метод восстановления параметров продуктов взрыва. Для определения пространственного распределения плотности разлетающихся продуктов взрыва использовалась предложенная нами методика, описанная в работах [1, 2]. Заряд детонирующего ВВ просвечивался импульсами СИ, которые регистрировались линейным детектором DIMEХ. По записанному распределению поглощения было восстановлено объемное распределение плотности разлетающихся продуктов взрыва при стационарной детонации заряда прессованного тротила с плотностью 1.65 г/см³ и диаметром 15 мм. Используя эти данные и уравнения газовой динамики, можно восстановить дополнительные параметры течения, а именно поля скоростей и давлений.

Рассмотрим установившееся течение — распространение детонационной или ударной волны. В системе, связанной с ее фронтом, запишем стационарные уравнения газовой динамики, описывающие это течение:

$$\operatorname{div}(\rho \vec{v}) = 0, \quad (1)$$

$$\frac{\partial \rho v_z v_r r}{\partial r} + r \frac{\partial \rho v_z^2}{\partial z} = -r \frac{\partial p}{\partial z}, \quad (2)$$

$$\frac{\partial \rho v_r^2 r}{\partial r} + r \frac{\partial \rho v_z v_r}{\partial z} = -r \frac{\partial p}{\partial r}. \quad (3)$$

Разрешая их в области, представленной на рис. 1, с соответствующими граничными условиями, можно восстановить поля вектора массовой скорости и давления.

Важно заметить, что выписаны только законы сохранения потока массы и импульса, а часто добавляемые уравнения баланса энергии и состояния среды (или адиабатичности течения) никак не используются. Вместо этого система замыкается известным пространственным распределением плотности. Это позволяет восстановить параметры течения вещества с произвольной термодинамикой.

Восстановление поля вектора скорости. В данной работе реализован метод приближенного решения (1)–(3) в предположении потенциальности течения.

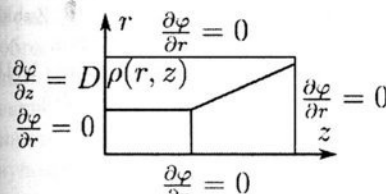


Рис. 1. Расчетная область и граничные условия для потенциала скорости.

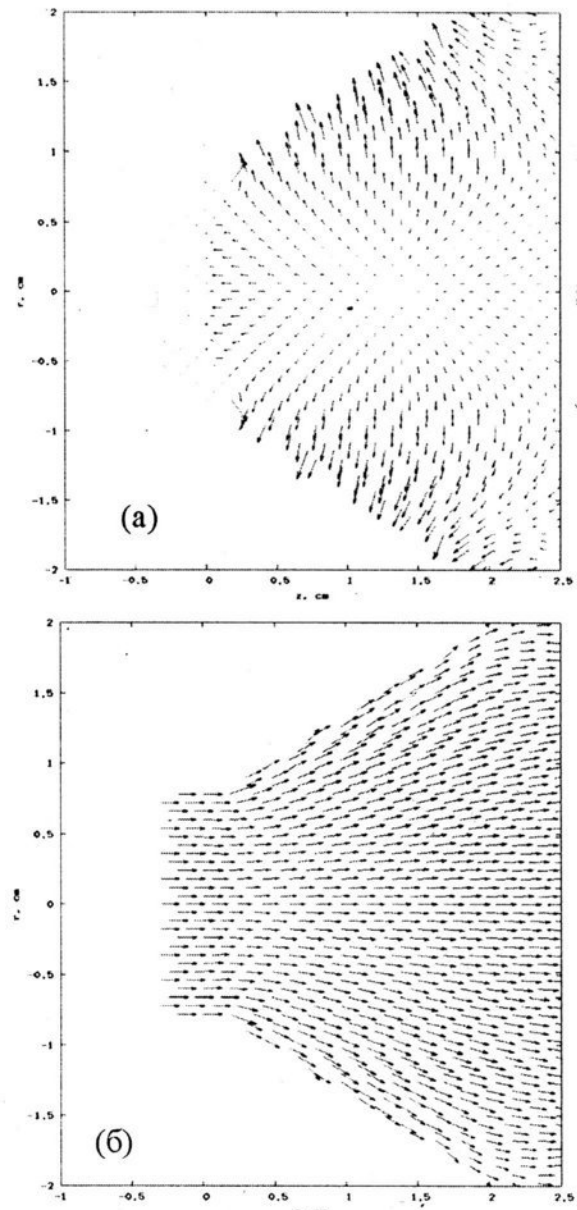


Рис. 2. Поле скорости: (а) неподвижная и (б) движущаяся с фронтом детонационной волны система.

Предположим существование скалярной функции $\phi(r, z)$, такой что $\vec{v}(r, z) = \vec{\nabla}\phi(r, z)$. Тогда система уравнений (1)–(3) распадается на две независимые части: восстановление вектора скорости только по плотности, и определение давления по известной плотности и скорости течения. Для восстановления скорости уравнение (1) переписывалось в терминах потенциала,

$$\operatorname{div}(\rho \nabla \phi) = 0, \quad (4)$$

и решалось численно, методом итераций, с соответствующими (рис. 1) граничными условиями. Необходимая для решения скорость распространения волны, D , определялась из дополнительных экспериментов. Полученное поле скоростей приведено на рис. 2.

Восстановление поля давления. Для восстановления пространственного распределения

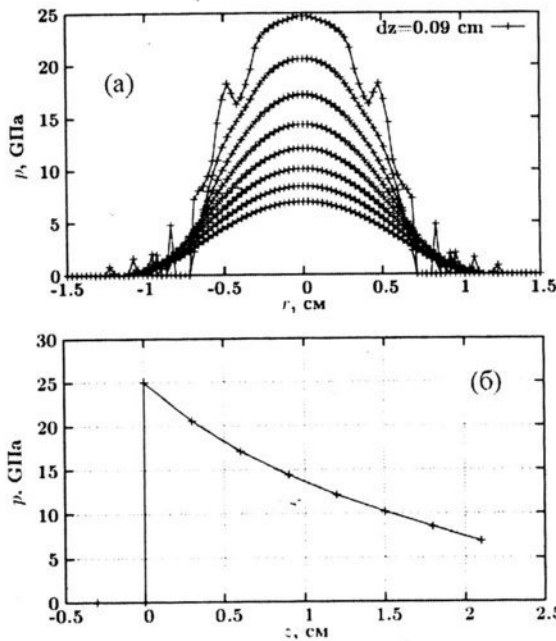


Рис. 3. (а) Распределение давления от радиуса в сечениях при разных z . (б) Распределение давления вдоль оси z .

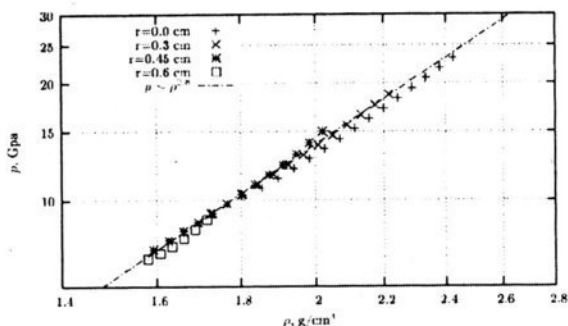


Рис. 4. Адиабата разгрузки продуктов взрыва в координатах давление-плотность вдоль лучей, параллельных оси z и проходящих на разных расстояниях от нее.

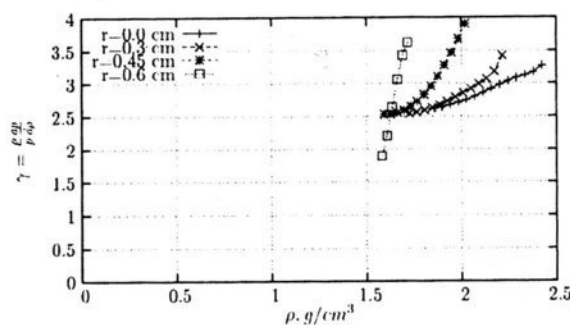


Рис. 5. Локальный показатель политропы.

давления модифицируем уравнения потока импульса (2), (3).

Дифференцируя (3) по z , (2) по r и складывая уравнения с подходящими весами, получаем для давления уравнение Пуассона

$$\frac{\partial^2 \rho v_z^2}{\partial z^2} + \frac{1}{r} \frac{\partial^2 \rho v_r^2 r}{\partial r^2} + \frac{2}{r} \frac{\partial^2 \rho v_r v_z r}{\partial r \partial z} = -\Delta p. \quad (5)$$

Уравнение (5) с условием $p = 0$ на границе расчетной области также решалось численно, методом итераций.

Результаты методики восстановления поля давления для стационарных волн детонации тротила представлены на рис. 3.

Адиабата разгрузки продуктов взрыва. В результате обращения тени, полученной в эксперименте, удалось восстановить все механические параметры течения: $\rho(r, z)$, $\vec{v}(r, z)$, $p(r, z)$. Это позволяет представить уравнение состояния продуктов взрыва в виде адиабаты разгрузки в координатах давление–плотность (рис. 4). Полученный результат разумно согласуется с часто используемым приближенным уравнением состояния в виде полигаза, $p/\rho^\gamma = const$. При этом, наилучшее соответствие для диапазона плотностей от состояния Чепмена–Жуге до примерно начальной плотности достигается (для тротила) при $\gamma = 2.8$, что согласуется с данными работ [3].

Реализованная методика позволяет определить более тонкую структуру уравнения состояния продуктов детонации и определить локальный показатель адиабаты $\gamma = \frac{\rho \frac{\partial p}{\partial \rho}}{p \frac{\partial \rho}{\partial p}}$, где p и ρ – текущие значения давления и плотности в волне разгрузки. Зависимости γ от плотности вдоль линий, параллельных оси z и проходящих на разных расстояниях от нее, количественно различаются, но общая тенденция уменьшения γ хорошо видна. Полученная зависимость γ от плотности – это часть перехода уравнения состояния между двумя предельными случаями: плотное вещество с $\gamma = 3$ и идеальный газ с $\gamma = 1.4$.

- Прууэл Э. Р., Мержневский Л. А., Тен К. А., Зубков П. И., Лукьянчиков Л. А., Толочко Б. П., Козырев А. Н., Литвиненко В. В. // ФГВ. 2007. Т. 43. № 3. С. 121–131.
- Evdokov O. V., Kozyrev A. N., Litvineko V. V., Lukianchikov L. A., Merzhievsky L. A., Prueel E. R., Ten K. A., Tolochko B. P., Zhigin I. L., Zubkov P. I. // NIM A. 2007. V. 575, № 1. P. 116–120.
- Баум Ф. А., Орленко Л. П., Станюкович К. Н. и др. Физика взрыва. Изд. 2. М.: Наука, 1975.

РОССИЙСКАЯ АКАДЕМИЯ НАУК
НАУЧНЫЙ СОВЕТ ПО ТЕПЛОФИЗИКЕ
НАУЧНЫЙ СОВЕТ ПО ФИЗИКЕ ПЛАЗМЫ
ОБЪЕДИНЕННЫЙ ИНСТИТУТ ВЫСОКИХ ТЕМПЕРАТУР
ИНСТИТУТ ПРОБЛЕМ ХИМИЧЕСКОЙ ФИЗИКИ
КАБАРДИНО-БАЛКАРСКИЙ ГОСУДАРСТВЕННЫЙ УНИВЕРСИТЕТ

**ФИЗИКА ЭКСТРЕМАЛЬНЫХ СОСТОЯНИЙ
ВЕЩЕСТВА — 2008**

Черноголовка — 2008